

## تثبیت آنزیم اینولیناز حاصل از اسپرژیلوس نایجر بر روی نانوپتیدهای مغناطیسی هیدرولیزات گلوتهنی گندم با هدف تولید شربت پرفروکتوز

آسیه محمودی<sup>1</sup>، هما ترابی زاده<sup>2</sup>

1- کارشناسی ارشد مهندسی کشاورزی، گرایش علوم و صنایع غذایی، پژوهشکده کشاورزی، سازمان پژوهش‌های علمی و صنعتی ایران، تهران، ایران  
2- نویسنده مسئول: استادیار گروه علوم و صنایع غذایی، پژوهشکده فناوری‌های شیمیایی، سازمان پژوهش‌های علمی و صنعتی ایران، تهران، ایران  
پست الکترونیکی: htoraby@alumni.ut.ac.ir

تاریخ پذیرش: 95/10/4

تاریخ دریافت: 95/6/11

### چکیده

**سابقه و هدف:** آنزیم اینولیناز اسپرژیلوس نایجر هیدرولیز کننده اینولین بوده و در تهیه شربت پرفروکتوز مورد استفاده قرار می‌گیرد. در این تحقیق، آنزیم اینولیناز از طریق ایجاد پیوند کووالانسی بر روی نانوذرات مغناطیسی هیدرولیزات گلوتهنی گندم تثبیت گردید. این روش تثبیت، از نظر افزایش انتقال جرم به دلیل کاهش اندازه ذرات و افزایش سطح و در نتیجه بازدهی بیشتر فرآورده نهایی همچنین، بازیابی آنزیم تثبیت شده توسط میدان مغناطیسی از محیط واکنش و امکان استفاده مجدد از آنزیم دارای اهمیت است.

**مواد و روش‌ها:** در ابتدا نانوپتیدهای هیدرولیزات گلوتهنی با روش حلال زدایی و نانوذرات مغناطیسی  $Fe_3O_4$  به روش هم رسوبی تهیه شدند. سپس سطح نانوذرات مغناطیسی توسط نانوپتیدهای تهیه شده پوشش داده شد و آنزیم اینولیناز از طریق پیوند کووالانسی بروی آن تثبیت گردید. ویژگی‌های ساختاری و عملکردی نانوذرات تهیه شده و آنزیم تثبیت شده با استفاده از روش‌های اسپکتروفوتومتری در ناحیه UV/VIS و میکروسکوپ الکترونی روبشی گسیل میدانی تعیین گردید.

**یافته‌ها:** مورفولوژی نانوذرات مغناطیسی بشکل کروی و نانوپتیدهای گلوتهنی بصورت کروی و رشته‌های کوتاه نشان داده شد. فاکتورهای سینتیکی آنزیم تثبیت شده در مقایسه با آنزیم آزاد بهبود یافته و میزان بارگذاری آنزیم بر روی نانوپتیدهای مغناطیسی حامل 74% محاسبه گردید. آنزیم اینولیناز تثبیت شده پس از 12 سیکل پی در پی آبکافت، 70% از فعالیت اولیه خود را حفظ نمود. نیمه عمر آنزیم تثبیت شده در دمای 60 درجه سانتی گراد در مقایسه با آنزیم آزاد حدود 1/5 برابر افزایش یافت.

**نتیجه گیری:** استفاده از نانوپتیدهای مغناطیسی هیدرولیزات گلوتهنی گندم جهت تثبیت آنزیم اینولیناز، روشی کارآمد همراه با افزایش پایداری و بهبود عملکرد آنزیم به منظور تهیه شربت پرفروکتوز می‌باشد.

**واژگان کلیدی:** نانوپتیدها، آنزیم اینولیناز، تثبیت کووالانسی، هیدرولیزات گلوتهنی گندم، نانوذرات مغناطیسی

### • مقدمه

پرفروکتوز را به صورت یک فرآیند تک مرحله ای آنزیمی از اینولین به جای استفاده از روش آنزیمی چند مرحله ای از نشاسته تولید نمود (1).

آبکافت صنعتی اینولین به جهت کاهش بار میکروبی و افزایش حلالیت اینولین و در نتیجه استفاده از غلظت‌های بالاتر اینولین معمولاً در دماهای بالا حدود  $50-60^{\circ}C$  صورت می‌گیرد. بنابراین انتظار می‌رود که آنزیم آبکافت کننده اینولین مقاوم به حرارت بوده تا بتواند عملکرد خود را در فرآیندهای غذایی و شیمیایی جهت تولید شربت پرفروکتوز

آنزیم‌های اینولیناز شامل اگزو اینولیناز (EC 3.2.1.80) و اندواینولیناز (EC 3.2.1.7) یکی از مهم‌ترین آنزیم‌های صنعتی هستند که توسط تعداد زیادی از میکروارگانیسم‌ها شامل کپک‌ها، مخمرها و باکتری‌ها تولید می‌گردند. اینولینازها، که بتا- فروکتان فروکتانو هیدرولاز می‌باشند اینولین را آبکافت کرده و در پایان واکنش فروکتوز و فروکتوآلیگوساکارید تولید می‌کنند که هر دو فرآورده محصولی مهم برای مصرف در صنایع غذایی و دارویی به شمار می‌روند. استفاده از آنزیم اینولیناز این امکان را فراهم کرده است تا بتوان شربت خالص

یکدیگر گردیده است (6). در این تحقیق، با استفاده از روش هم رسوبی نانوذرات مغناطیسی عاملدار شده با نانوپیتیدهای حاصل از هیدرولیز آنزیمی گلوتن گندم با اندوپیتیدازها، همراه با آنزیم اینولیناز در محیط حلال اتانل به کمک عامل ایجاد اتصالات جانبی (گلو تار آلدهید) در مقیاس نانو تثبیت گردید و در نهایت ویژگی‌های نانوذرات، کارایی و نحوه عملکرد آنزیم تثبیت شده مورد ارزیابی قرار گرفت. استفاده از نانوپیتیدهای حاصل از هیدرولیزات‌های گلوتن گندم جهت انجام این نوع تثبیت تا کنون در دنیا انجام نگرفته و جزء نوآوری‌های این تحقیق بشمار می‌رود.

### • مواد و روش‌ها

**مواد:** آنزیم اینولیناز ساخت شرکت سیگما آلدریج امریکا، اینولین حاصل از ریشه کاسنی با فرمول مولکولی  $(C_6H_{10}O_5)_n$  و جرم مولکولی نسبی 5000 دالتن ساخت شرکت فلوکای آمریکا استفاده شدند. هیدرولیزات گلوتنی گندم با استفاده از آنزیم‌های اندوپیتیداز آلکالاز و نوتراز با جرم مولکولی متوسط 35-45 کیلو دالتن، تهیه شده در پژوهشکده فناوری‌های شیمیایی، گروه صنایع غذایی. معرف ۵.۳ دی نیترو سالیسیلیک اسید با فرمول  $C_{7H_4N_2O_7}$  از شرکت سیگما آلدریج امریکا تهیه شد. سایر مواد شامل نمک‌های آهن دو و سه ظرفیتی شامل  $FeCl_2 \cdot 4H_2O$  و  $FeCl_3 \cdot 6H_2O$ ، تارتارات مضاعف سدیم پتاسیم (نمک راشل)، گلو تر آلدهید 25% (حجمی/حجمی در آب)، توپین 80، دی سدیم هیدروژن فسفات، سدیم دی هیدروژن فسفات، استات سدیم، سولفیت سدیم، اسید هیدروکلریک، اسید فسفریک، هیدروکسید سدیم، استن، اسید استیک و اتانول 96 درجه از نوع آزمایشگاهی بوده و از نمایندگی‌های شرکت مرک آلمان در ایران خریداری شد. دستگاه اسپکتروفتومتر مدل Perkin Elmer, Lambda UV/VIS، همچنین دستگاه میکروسکوپ الکترونی روبشی گسیل میدانی FE-SEM مدل Tescan-Mira II ساخت آمریکا استفاده گردید. اندازه ذرات در فاز مایع با روش Dynamic light scattering (DLS) و توسط دستگاه Brookhaven Goniometer Version 2 ساخت شرکت Instrument Corp امریکا تعیین گردید. پراکنش نور توسط نانوذرات در  $173^\circ$  با پراکنش نور لیزر دینامیک تعیین شد. علاوه بر آن، پتانسل زتا (Z-potential) با استفاده از روش DLS به منظور تعیین میزان پایداری نانوذرات در برابر تجمع اندازه‌گیری شد.

بخوبی حفظ نماید. بنابراین یکی از مهمترین روش‌های افزایش مقاومت حرارتی آنزیم اینولیناز، تثبیت از طریق ایجاد پیوندهای کووالانسی با ماده حامل (بستر) می‌باشد (2). علاوه بر این دلایل متعدد دیگری برای تثبیت آنزیم وجود دارد که از جمله می‌توان به آسان شدن به کارگیری و استفاده مجدد از آنزیم در فرآیند ها، امکان بهتر جداسازی آنزیم از محصول تولید شده و کاهش غلظت پروتئین در محصول تهیه شده و قابلیت بکارگیری آنزیم تثبیت شده در بیورآکتورهای با سیستم مداوم، پایداری به واسطه حرارتی، حلال‌های آلی و اتولیز اشاره نمود (2). آنزیم‌ها مولکول‌های نسبتاً حساسی هستند و می‌توانند به راحتی ساختار سوم خود را که برای فعالیت‌شان ضروری است، به دلیل تغییر ساختار از دست بدهند. عملکرد آنزیم تثبیت شده با افزایش پایداری در دامنه گسترده تری از pH و دما و نیز تحمل حلال‌های آلی بهبود می‌یابد. این عوامل در باز بکارگیری و استفاده مجدد از آنزیم و در نتیجه افزایش راندمان کاتالیتیکی آن (کیلوگرم محصول تولید شده نسبت به کیلوگرم آنزیم به کار گرفته شده در واکنش) مؤثر و وابسته است (3). تثبیت آنزیم از طریق متصل شدن آنزیم به ماده حامل می‌تواند به صورت کووالانته انجام گیرد. این روش جز گروه تثبیت‌های برگشت ناپذیر است که بیشترین استفاده را در تثبیت آنزیم‌ها دارا می‌باشد. پایداری پیوند تشکیل شده بین آنزیم و بستر از مزیت‌های اصلی این نوع تثبیت است (3). به دلیل وجود پیوندهای قوی کووالانسی از رها شدن آنزیم در محیط واکنش جلوگیری می‌گردد (4). در حال حاضر تثبیت آنزیم بر روی نانومواد مانند نانوپلیمرها، نانوفیبرها و نانوذرات بسیار مورد توجه قرار گرفته است. در واقع کاهش اندازه آنزیم متصل به حامل، بازده تثبیت را بهبود می‌بخشد. علاوه بر این درمورد اتصالات سطحی، ذرات کوچک تر سطح بزرگ‌تری را جهت اتصال آنزیم و بار گذاری آنزیم بر واحد جرم ذرات ایجاد می‌کنند. بازیافت نانومواد و آنزیم تثبیت شده اغلب محدودیتی را ایجاد می‌کند اما، استفاده از نانوذرات مغناطیسی به علت امکان جمع‌آوری ساده، سریع و کم هزینه آنزیم از محیط واکنش با استفاده از میدان مغناطیسی، ظرفیت بالای بارگذاری آنزیم به علت سطح ویژه بزرگ و عدم محدودیت نفوذ به محلول‌ها بسیار مورد توجه قرار گرفته است (5). روش اصلاح سطح نانوذرات مغناطیسی با گروه‌های عاملی جهت تثبیت و اتصال بهتر آنزیم به سطح حامل عامل دار شده موجب افزایش پایداری نانوذرات در برابر اکسیداسیون و محیط‌های اسیدی و کاهش تجمع و اتصال نانوذرات به

مدت 10 دقیقه در حمام آب با دمای  $90^{\circ}\text{C}$ - $95^{\circ}\text{C}$  حرارت داده شد تا رنگ زرد تا قهوه ای در محلول ایجاد شود. سپس محلول حاصل از آبکافت سرد گردید و به میزان (یک سوم حجم DNS) محلول 40% پتاسیم سدیم تارتارات جهت تثبیت رنگ به محلول اضافه شد. پس از آن میزان جذب محلول هیدرولیز شده در طول موج 575 nm در مقایسه با شاهد (بدون آنزیم) اندازه گیری شد (8).

**تعیین پارامترهای سینتیکی:** پارامترهای سینتیکی واکنش آبکافت اینولین توسط آنزیم تثبیت شده و آنزیم آزاد یعنی  $K_m$  (غلظتی از سوبسترا که در آن غلظت سرعت واکنش 1/2 سرعت بیشینه است) و  $V_{max}$  تعیین گردید. برای تعیین پارامترهای سینتیکی غلظت‌های مختلف از سوبسترای اینولین تهیه گردید، سپس به همراه 100 میکرولیتر آنزیم در بافر استات سدیم با pH برابر با 6، در زمان بهینه فعالیت آنزیم آبکافت انجام گرفت. سپس به وسیله روش DNS مقدار محصول تولید شده در طول موج 575 نانومتر تعیین گردید. پس از آن نمودار غلظت محصول تولید شده نسبت به مدت زمان هیدرولیز رسم شد. سرعت واکنش آنزیمی  $V$  با استفاده از شیب خط به دست آمده برای هر غلظت به طور جداگانه مشخص شد. سپس نمودار لینو-برک (Lineweaver- Burk Plot) براساس عکس غلظت سوبسترا  $1/[S]$  و عکس سرعت واکنش  $1/V$  رسم گردید. در این معادله  $C = 1/V_{max}$  بوده یعنی محل تلاقی خط با محور  $Y$ ها برابر با مقدار  $C$  و در نتیجه برابر با  $1/V_{max}$  است. شیب خط یا  $m$  برابر با  $K_m/V_{max}$  می‌باشد (9).

**تعیین نیمه عمر و بررسی مقاومت حرارتی آنزیم آزاد و تثبیت شده:** بررسی پایداری حرارتی آنزیم اینولیناز قبل و پس از تثبیت در دماهای 45، 55 و  $65^{\circ}\text{C}$  صورت گرفت. سینتیک غیرفعال شدن حرارتی آنزیم اینولیناز طبق فرمول (1) محاسبه شد. ثابت سرعت غیر فعال شدن آنزیم ( $K_{in}$ ) به عنوان شیب رگرسیون خطی در  $\ln(A_t/A_0)$  در مقابل زمان در دمای ثابت تعیین شد. علاوه بر این نیمه عمر آنزیم ( $t_{1/2}$ ) یا مدت زمانی که آنزیم 50% فعالیت خود را از دست می‌دهد، طبق فرمول (2) محاسبه گردید (9، 10).

$$\ln[A_t] = \ln[A_0] - K_d t \quad (1)$$

$$t_{1/2} = \ln 2 / K_d \quad (2)$$

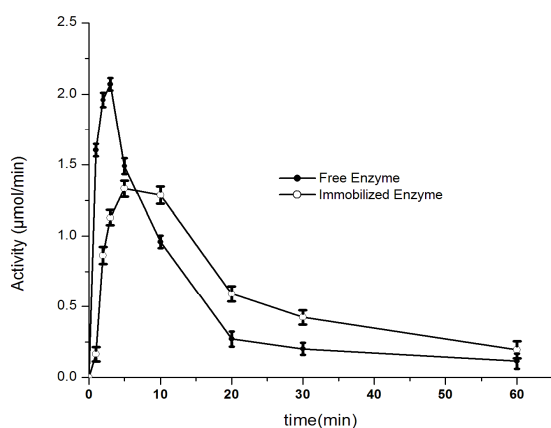
**پوشش دهی نانوذرات مغناطیسی با نانوپپتیدهای هیدرولیزات گلوآنی و تثبیت آنزیم اینولیناز بر روی آنها:** نانوپپتیدهای هیدرولیزات گلوآنی با غلظت 0/1 % (w/v) با روش حلال زدایی و نانوذرات مغناطیسی  $\text{Fe}_3\text{O}_4$  به روش هم رسوبی با نسبت استوکیومتری 1 به 2 از  $\text{Fe}^{2+}$  به  $\text{Fe}^{3+}$  تهیه شدند. در ابتدا محلول 25 میلی لیتر بافر فسفات با pH 7/4، حاوی 0/06 گرم نانوذرات مغناطیسی و 0/05 گرم نانوساختار هیدرولیزات گلوآنی همراه با نسبت معین گلوآرآلدئید تهیه شد و به مدت 10 دقیقه تحت تاثیر امواج اولتراسونیک قرار گرفت. سپس واکنش به مدت 24 ساعت تحت هم زدن ملایم در دمای اتاق ادامه یافت. سپس 4 میلی لیتر آنزیم اینولیناز بر اساس میزان پروتئین موجود به محلول اضافه شد. محلول حاصل به مدت 24 ساعت با سرعت ملایم در دمای  $4^{\circ}\text{C}$  جهت انجام واکنش همزده شد. سپس مخلوط تهیه شده در سه مرحله با بافر فسفات در pH 7، شستشو داده شد. پس از شستشو با بافر فسفات و سانتریفیوژ با سرعت  $17172 \times g$  محلول بالایی را از ترکیب ته نشین شده جدا شد و جهت تعیین میزان پروتئین با روش برادفورد آماده گردید.

**تعیین میزان پروتئین با روش براد فور:** جهت تعیین غلظت پروتئین آنزیم، از روش سنجش کمی برادفور استفاده شد. روش کار بدین ترتیب بود که  $100 \mu\text{l}$  از محلول پروتئینی (محلول شامل  $100 \mu\text{l}$  آنزیم اینولیناز همراه با  $1000 \mu\text{l}$  بافر سدیم استات) به 5 ml محلول معرف بیوراد اضافه گردید و با ایجاد ورتکس نمونه‌ها کاملاً یکنواخت شد. پس از مدت 10 دقیقه نگهداری در دمای اتاق میزان جذب نمونه‌ها در مقیاسه با نمونه کنترل (نمونه بدون آنزیم) در طول موج 595 nm تعیین گردید. نمودار استاندارد پروتئین سرم آلبومین گاوی به عنوان پروتئین استاندارد استفاده شد (7).

**تعیین میزان فعالیت آنزیم با روش DNS:** فعالیت آنزیم اینولیناز با اندازه گیری میزان فروکتوز تولید شده از اینولین توسط آنزیم با استفاده از روش دی نیترو سالیسیلیک اسید (DNS) محاسبه شد (8). در این روش  $1000 \mu\text{l}$  محلول شفاف (1w/v%) اینولین و آنزیم اینولیناز ( $100 \mu\text{l}$ ) در 9000 میکرولیتر محلول بافر استات سدیم pH 6، با هم ترکیب شده و واکنش هیدرولیز در pH 6 و دمای  $39-40^{\circ}\text{C}$  در مدت زمان 0-60 دقیقه انجام گرفت. پس از خاتمه هیدرولیز به  $500 \mu\text{l}$  از محلول واکنش در زمان‌های مختلف آبکافت،  $500 \mu\text{l}$  یعنی حجم مساوی از محلول DNS اضافه شد و به

(DLS) تعیین شد. متوسط اندازه ذرات هیدرولیزات گلوآنی 150 نانومتر به دست آمد. پتانسیل زتای آن نیز 27- میلی ولت تعیین گردید که نشان از پایداری بالای محصول نسبت به تجمع و آگلومره شدن داشت. بررسی تصویر میکروسکوپ الکترونی نانوذرات نشان داد که آنزیم به صورت ذراتی شفاف بر روی نانوذرات مغناطیسی هیدرولیزات گلوآنی تثبیت شده و نتایج حاصل از DLS را تأیید نمود (شکل 1).

تعیین میزان فعالیت آنزیم اینولیناز آزاد و تثبیت شده طی آبکافت سوسترای اینولین: بیشترین فعالیت آنزیم آزاد در زمان 3 دقیقه بود درحالیکه بیشترین فعالیت آنزیم تثبیت شده در بازه زمانی 5-10 دقیقه مشاهده شد. (شکل 2) بر اساس نمودار فعالیت آنزیم تثبیت شده، اختلاف معنی دار بین زمان های  $t=5s$  و  $t=10s$  مشاهده نشده است بنابراین می توان گفت آنزیم بیشترین فعالیت خود را در بازه زمانی  $t=5-10s$  داشته است.



شکل 2. نمودار فعالیت آنزیم اینولیناز آزاد و تثبیت شده

اندازه گیری میزان بارگذاری آنزیم به داخل نانوذرات: میزان آنزیم تثبیت شده (بارگذاری شده روی نانوذرات حامل) را می توان از طریق فرمول محاسبه نمود (11).

$$Q = \frac{(C_1 - C_2)V}{W} \quad (3)$$

Q = مقدار آنزیم تثبیت شده روی ماده حامل

$C_1$  = غلظت اولیه آنزیم (mg/ml)

$C_2$  = غلظت آنزیم باقی مانده در محلول پس از پایان فرآیند تثبیت

(mg/ml)

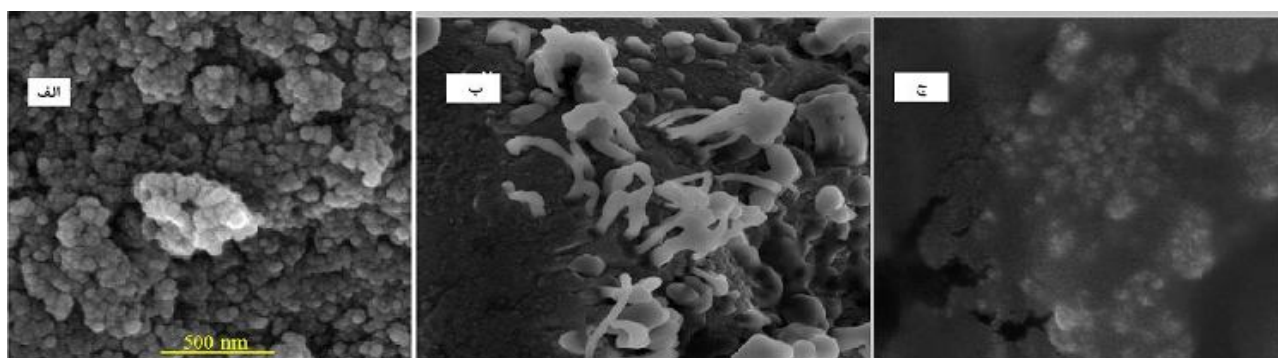
W = وزن مواد حامل (ساپورت) (mg).

V = حجم کل محلول واکنش

قابلیت استفاده مجدد آنزیم تثبیت شده: قابلیت استفاده مجدد آنزیم تثبیت شده با اندازه گیری فعالیت آنزیم بعد از هر بار استفاده بررسی می گردد. تعیین میزان فعالیت آنزیم تثبیت شده براساس روش DNS به دست می آید. تعیین فعالیت به تعداد 15 سیکل پی در پی با مدت زمان هیدرولیز 60 دقیقه اندازه گیری شد. در پایان هر سیکل هیدرولیز، نانوذرات مغناطیسی آنزیم تثبیت شده توسط میدان مغناطیسی (آهن ربا) و سانتریفیوژ 11357g از محیط واکنش جداسازی گردید و توسط بافر فسفات با pH برابر 7 شستشو داده شد. در پایان هر سیکل فعالیت باقیمانده در هر سیکل براساس نسبت فعالیت آنزیم به فعالیت آن در سیکل اول بر اساس درصد بیان شد.

### • یافته ها

تعیین اندازه نانوذرات پروتئینی با استفاده از روش DLS و بررسی مورفولوژی سطح آنها با استفاده از میکروسکوپ الکترونی روبشی: اندازه ذرات و پتانسیل زتای نمونه ها با استفاده از آنالیز Dynamic light scattering



شکل 1. تصویر میکروسکوپ الکترونی آنزیم تثبیت شده بر روی نانوذرات مغناطیسی عامل دار شده با نانوذرات پروتئینی. الف) نانوذرات مغناطیسی، ب) نانوپتیده ها، ج) آنزیم تثبیت شده روی نانوپتیده های مغناطیسی

**جدول 3.** نیمه عمر ( $t_{1/2}$ ) (دقیقه) آزاد و تثبیت شده در 3 دمای 45، 55، 65 درجه سانتی‌گراد

دما (°C)	45	55	65
آنزیم آزاد	222/7	181	63
آنزیم تثبیت شده	256/6	203/8	81/5

### میزان بارگذاری آنزیم بر روی بستر نانوذرات مغناطیسی عامل دار شده با نانوذرات هیدرولیزات

**گلوتنی:** میزان آنزیم متصل شده به نانوذرات پروتئینی با استفاده از مقایسه غلظت اولیه آنزیم با میزان آنزیم باقیمانده در محلول بافر پس از جداسازی ذرات آنزیمی تثبیت شده با سانتیفریوژ محاسبه شد. مقدار آنزیم تثبیت شده روی حامل 7/5 (میلی گرم آنزیم در گرم حامل) 74% محاسبه شد.

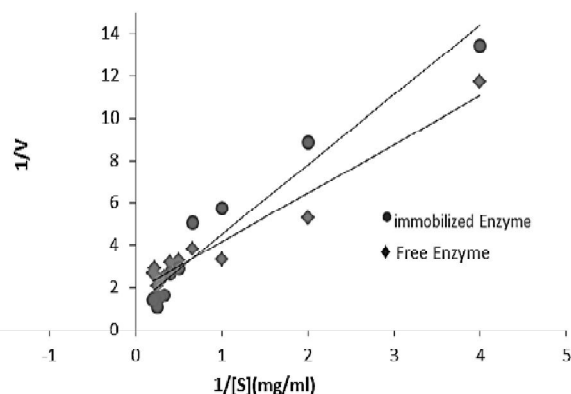
### قابلیت استفاده مجدد آنزیم اینولیناز تثبیت شده:

امکان استفاده مجدد از آنزیم همراه با جداسازی آسان از محیط واکنش توأم با بیشترین بازده فعالیت آنزیم جهت کاهش هزینه‌های فرآیند، از اهداف اصلی تثبیت آنزیم می‌باشد. بهمین منظور، قابلیت استفاده مجدد آنزیم اینولیناز تثبیت شده در طی 12 سیکل پی در پی مورد ارزیابی قرار گرفت. نتایج نشان داد که، آنزیم تثبیت شده 70% از فعالیت اولیه خود را پس از 12 سیکل فعالیت پی در پی حفظ نموده است.

### • بحث

در این تحقیق آنزیم اینولیناز حاصل از آسپرژیلوس نیجر بر روی نانوذرات مغناطیسی  $Fe_3O_4$  عامل دار شده با نانوساختار هیدرولیزات پروتئینی با اندازه ذرات 100-160 نانومتر از طریق ایجاد اتصالات کووالانسی تثبیت گردید. اینولیناز تثبیت شده با این روش در محدوده وسیع تری از pH و دمای ایده آل فعالیت داشت که می‌توان آن را به افزایش پایداری حرارتی و ثبات ساختار آنزیم پس از تثبیت نسبت داد (12). مقدار آنزیم بارگذاری شده بر روی نانوذرات مغناطیسی به میزان 75% تعیین گردید. علاوه بر این، نیمه عمر آنزیم تثبیت شده به میزان 12/3 برابر در دمای 75 درجه سانتی‌گراد نسبت به نیمه عمر آنزیم آزاد افزایش یافت. همچنین، اینولیناز تثبیت شده به میزان 12 سیکل پی در پی 75% از فعالیت اولیه خود را حفظ نمود. با تثبیت و ساکن شدن آنزیم تا حدودی کاهش فعالیت آنزیم صورت گرفت ولی بر اساس نمودار، آنزیم تثبیت شده در زمان طولانی تری بیشترین فعالیت خود را حفظ کرده و فعالیت پایدارتری نسبت به آنزیم آزاد داشته است. تعیین پارامترهای سینتیکی ( $V_{max}$ ,  $K_m$ )

**بررسی پارامترهای سینتیکی:** با استفاده از اعداد مربوط به عکس غلظت سوپسترا  $1/[S]$  و عکس سرعت واکنش  $1/[V]$  نمودار Lineweaver-Burk شکل 6 رسم گردید. نتایج مربوط به محاسبه مقادیر  $K_m$  و  $V_{max}$  در جدول 1 گزارش شده است. همان طور که در جدول مشاهده می‌شود مقدار  $V_{max}$  آنزیم اینولیناز پس از تثبیت از 0/829 به 0/543 (میکرومول به ازاء هر دقیقه) و همچنین مقدار  $K_m$  از 2/71 به 1/25 (میلی گرم به ازاء هر میلی لیتر) کاهش یافت.



**شکل 3.** نمودار Lineweaver-Burk مربوط سرعت واکنش آنزیمی در غلظت‌های مختلف سوپسترا

**جدول 1.** نتایج پارامترهای سینتیکی آنزیم آزاد و تثبیت شده

آنزیم اینولیناز	$V_{max}$ ( $\mu\text{mol}/\text{min}$ )	$K_m$ (mg/ml)
آزاد	0/829	2/71
تثبیت شده	0/543	1/25

### مقاومت حرارتی و نیمه عمر آنزیم آزاد و تثبیت شده:

ثابت غیرفعال سازی ( $k_{in}$ ) و نیمه عمر آنزیم در 3 دمای 45، 55، 65°C محاسبه شد و در جداول 2 و 3 نشان داده شده است. نتایج به دست آمده نشان می‌دهد که نیمه عمر و مقاومت حرارتی آنزیم تثبیت شده نسبت به نیمه عمر آنزیم آزاد در دماهای 45، 55، 65 درجه سانتی‌گراد افزایش یافته و نسبت به آنزیم آزاد در دماهای بالا پایدارتر بوده است.

**جدول 2.** ثابت سرعت غیر فعال سازی آنزیم ( $\times 10^{-3} \text{min}$ )  $K_d$  در 3 دمای 45، 55، 65 درجه سانتی‌گراد

دما (°C)	45	55	65
آنزیم آزاد	3/03	3/8	10/9
آنزیم تثبیت شده	2/7	3/4	8/5

نیجر را روی بستری از کیتین تثبیت نمودند. آنزیم اندو اینولیناز تثبیت شده در دمای  $65^{\circ}\text{C}$  (با  $5^{\circ}\text{C}$  بالاتر از دمای اپتیمم برای آنزیم آزاد) بیشترین فعالیت را از خود نشان داد (15). Yewale و همکاران در سال 2013 آنزیم اینولیناز حاصل از اسپرژیلوس نیجر (NCIM 945) را با ایجاد پیوند کووالانسی روی بستری از کیتوزان جهت هیدرولیز پیوسته اینولین تثبیت کردند. مقاومت دمایی آنزیم پس از تثبیت بر روی کیتوزان در دمای 50 و 60 درجه سانتیگراد افزایش پیدا کرد (16). در سال 2010 آنزیم اینولیناز توسط Danial و همکاران بر روی بستری از آلزینات تثبیت شد. تثبیت اینولیناز مقاومت دمایی آنزیم را از دمای  $50^{\circ}\text{C}$  به  $60^{\circ}\text{C}$  که مناسبترین دمای مورد استفاده در صنایع غذایی جهت جلوگیری از آلودگی میکروبی است، افزایش داد (17).

با توجه به افزایش پایداری دمایی و pH، بهبود پارامترهای سینتیکی آنزیم تثبیت شده، افزایش نیمه عمر آنزیم تثبیت شده در دماهای بالا (دمای 75 درجه سانتیگراد)، همچنین قابلیت استفاده مجدد از آنزیم به میزان 12 سیکل پی در پی با حفظ 75% از فعالیت اولیه آنزیم در مقایسه با سایر پژوهشگران که تثبیت اینولیناز را با قابلیت استفاده مجدد از آنزیم به میزان 7 سیکل پی در پی با حفظ 80% انجام داده اند (18)، و امکان جداسازی آنزیم تثبیت شده با بکارگیری میدان مغناطیسی و در نتیجه کاهش هزینه های جداسازی آنزیم از محیط واکنش و بهبود کیفیت فرآورده نهایی تولید شده، می توان ادعا نمود که تثبیت آنزیم اینولیناز روی نانوذرات مغناطیسی  $\text{Fe}_3\text{O}_4$  عامل دار شده با نانو پپتید های تهیه شده از هیدرولیز آنزیمی (اندوپپتیداز ها) گلو تن گندم، روشی کارآمد در تثبیت آنزیم اینولیناز بوده که می توان آن را در جهت کاربرد در صنایع غذایی و دارویی جهت تولید فروکتواولیگوساکاریدها و فروکتوز مورد توجه قرار داد (19).

آنزیم تثبیت شده در مقایسه با آنزیم آزاد نشان داد که  $K_m$  آنزیم تثبیت شده حدود 54% نسبت به  $K_m$  آنزیم آزاد کاهش داشته است که نشان دهنده تمایل بیشتر سوبسترا (اینولین) برای اتصال به جایگاه فعال آنزیم و افزایش میزان هیدرولیز سوبسترا توسط آنزیم تثبیت شده می باشد. کاهش محدود  $V_{max}$  احتمالاً به علت وجود تغییراتی در بار الکتریکی جایگاه فعال آنزیم بعد از اتصال به حامل بوده که انتقال جرمی سوبسترا و دسترسی آن به جایگاه فعال آنزیم با سرعت کند تری انجام گرفته است (13). به طور کلی کاهش  $V_{max}$  در آنزیم تثبیت شده نسبت به آنزیم آزاد بسیار کم بوده و تفاوت معنی داری را نشان نمی دهد و می توان گفت که تثبیت نمودن آنزیم اینولیناز تاثیر مهمی را بر روی  $V_{max}$  آنزیم نداشته است. آنزیم اینولیناز تثبیت شده قادر به تحمل دماهای بالاتر از دمای مطلوب فعالیت خود گردیده بطوریکه بیش از 50% از فعالیت خود را در دمای  $65^{\circ}\text{C}$  حفظ نموده است. با توجه به شکل گیری پیوندی پایدار بین آنزیم و بستر افزایش نیمه عمر و مقاومت حرارتی آنزیم تثبیت شده قابل توجهی می باشد (14).

پژوهش های زیادی روی تثبیت آنزیم اینولیناز به روش های مختلف از جمله اتصال به یک حامل، ریزدرون پوشانی و یا تثبیت با ایجاد اتصالات جانبی انجام شده است اما، تثبیت آنزیم اینولیناز روی نانوذرات پروتئینی مغناطیسی تاکنون صورت نگرفته است. از مزایای روش انجام شده در تحقیق حاضر، سهولت در جداسازی آنزیم تثبیت شده روی نانوذرات مغناطیسی با استفاده از یک میدان مغناطیسی و کاهش هزینه های جداسازی آنزیم از محیط واکنش و افزایش خلوص فرآورده نهایی تولید شده می باشد (12). به طور کلی با شکل گیری اتصالات قوی کووالانسی بین مولکول های آنزیم و بستر استحکام ساختار آنزیم افزایش یافته و احتمال تغییر ساختار آن را در دماهای بالا کاهش می دهد. در سال 2011 Quang و همکاران آنزیم اندواینولیناز حاصل از اسپرژیلوس

## • References

- Vandamme EJ, Derycke DG. Microbial inulinases: fermentation. process. properties, and applications. *Adv Appl Microbiol.* 1983;29:139-176.
- Magdy M, Elnashar M, Enas N, Danial E, Ghada. Novel Carrier of Grafted Alginate for Covalent Immobilization of Inulinase. *Ind Eng Chem Res.* 2009;48:9781-9785
- Sheldon R.A.S., Janssen M.H.A.. Use of cross-linked enzyme aggregates (CLEAs) for performing biotransformations. *Chem. Toda.* 2007;25: 62-67.
- Hernandez M, Kispert E, Ramirez E, Rosales D, Ulloa J, Ferrara T. Electron paramagnetic resonance analyses of biotransformation reactions with cytochrome P-450 immobilized on mesoporous molecular sieves. *J. Biotech Let* 2011;29:919-924.
- Yangyang J, Chen G, Hansong X, Iram M, Chunzhao L, Huizhou L. Magnetic nanoparticles supported ionic liquids for lipase immobilization. *J. Mol Catal. B:Enzym.* 2009;58:103-109.

6. Wenjuan Z, Jianhui Q, Huixia F, Limin Z, Eiichi S, Increase in stability of cellulase immobilized on functionalized magnetic nanospheres J. Magn Magn Mater .2014;375:117–123.
7. Bradford M.M. A Rapid and Sensitive Method for the Quantitation Microgram Quantities of Protein Utilizing the Principle of Protein-Dye Binding. Anal Biochem. 1976;72:248–254.
8. Miller G L. Use of Dinitrosalicylic Acid Reagent for Determination of Reducing Sugar. Anal Biochem. 1959;31:426–429.
9. Torabizadeh H, Habibi-Rezaei M, Safari M, Moosavi-Movahedi AA, Sharifzadeh A, Azizian H, Amanlou M. Endo-inulinase Stabilization by Pyridoxal Phosphate Modification: A Kinetics, Thermodynamics, and Simulation Approach. Appl Biochem Biotechnol. 201; 165:1661–1673.
10. Pal A, Khanum F. Covalent Immobilization of Xylanase on Glutaraldehyde Activated Alginate Beads Using Response Surface Methodology: Characterization of Immobilized Enzyme. Process Biochem. 2011;46:1315–1322.
11. Ahmad R, Sardar M. Enzyme Immobilization: An Overview on Nanoparticles as Immobilization Matrix. Biochem Anal Biochem. 2015; 2: 1-8.
12. Almeida RV, Branco RV, Peixoto B, CdS Lima, Alqueres SMC, Martins OB, Antunes OAC, Freire DMG. Immobilization of a recombinant thermostable esterase (Pf2001) from *Pyrococcus furiosus* on microporous polypropylene: isotherms, hyperactivation and purification. Biochem Eng J. 2008; 39:531–537.
13. Quang D, Nguyena J, Rezessy M, Balint C, Agoston H. Continuous production of oligofructose syrup from Jerusalem artichoke juice by immobilized endo-inulinase. Process Biochem. 2011;(46): 298–30.
14. Yewale T, Rekha S, Singhal A, Vaidya A. Immobilization of inulinase from *Aspergillus niger* NCIM 9 on chitosan and its application in continuous inulin hydrolysis. Biocatal Agri Biotech. 2013; 2:96–101.
15. Danial M, Enas N, Elnashar M, Ghada E, Awad A, Immobilized Inulinase on Grafted Alginate Beads Prepared by the One-Step and the Two-Steps Methods . Ind Eng Chem Res. 2010; 49: 3120–3125.
16. Mohamad NR, Che Marzuki NH, Buang NA, Huyop F, Abdul Wahab R, An overview of technologies for immobilization of enzymes and surface analysis techniques for immobilized enzymes. Biotechnol Biotechnol Equip. 2015; 29: 205-220.
17. Keerti PS, Gupta A, Kumar V, Dubey A, Verma AK, Kinetic Characterization and Effect of Immobilized Thermostable  $\beta$ -Glucosidase in Alginate Gel Beads on Sugarcane Juice. ISRN Biochem. 2014; 1-8.
18. Rahimizadeh P, Najavand S, Pazhang M, A Comparative Study of Activity and Stability of the Free and the Immobilized Endoglucanase from *Alicyclobacillus acidocaldarius*. Biomacromol J. 2015;1: 167-176.
19. Karimi M, Chaudhury I, Jianjun C, Safari M, Sadeghi R, Habibi-Rezaei M, Kokini J, Immobilization of endo-inulinase on non-porous amino functionalized silica nanoparticles. J Mol Catal B Enzym. 2014; 104: 48–55.

## Immobilization of Inulinase from *Aspergillus niger* on Magnetic Nanopeptides of Wheat Gluten Hydrolysates for High Fructose Syrup Production

Mahmoudi A<sup>1</sup>, Torabizadeh H\*<sup>2</sup>

1- Department of Agriculture Research, Iranian Research Organization for Science and Technology (IROST), Tehran, Iran.

2- \*Corresponding author: Department of Chemical Technology, Iranian Research Organization for Science and Technology (IROST), Tehran, Iran. Email: htoraby@alumni.ut.ac.ir

Received 1 Sept, 2016

Accepted 24 Dec, 2016

**Background and Objectives:** Inulinase from *Aspergillus niger* hydrolysis inulin is used for high fructose syrup preparation. In this study inulinase was immobilized covalently on magnetic wheat gluten hydrolysates. This immobilization method for the increase in mass transfer is due to particle size reduction and increases in higher yields, and recovery of immobilized enzyme by the magnetic field from reaction medium and the reusability of the enzyme is important.

**Materials and Methods:** Firstly, nanopeptides from wheat gluten hydrolysates were prepared by desolvation method and Fe<sub>3</sub>O<sub>4</sub> magnetic nanoparticles were prepared by co-precipitation method. Afterwards, the surface of magnetic nanopeptides were coated with prepared nanopeptides and inulinase was immobilized on prepared magnetic nanopeptides by covalent bonding. The structural and functional characteristics of prepared nanoparticles and immobilized enzyme were determined by using spectrophotometry in UV / VIS region and field emission scanning electron microscope methods.

**Results:** The morphology of magnetic nanoparticles were shown spherical also gluten peptides were spherical with short fibers. Kinetic parameters of immobilized enzyme, compared with the free enzyme, were improved and the enzyme loading on magnetic nanopeptides was calculated (7.5 mg Enzyme /g Support) 74%. Immobilize enzyme preserved 69.9% of their initial activity after 12 cycles of hydrolysis. Half-Life of immobilized enzyme at 60°C compared to the free enzyme was increased about 1.5 times.

**Conclusion:** The use of magnetic nanopeptides of wheat gluten hydrolysates for immobilization of the inulinase is an efficient method along with the increase in stability and improvement in enzyme performance for high fructose syrup production.

**Keywords:** Nanopeptides, Inulinase, Covalent immobilization, Wheat gluten hydrolysates, Magnetic nanoparticles